

# بررسی اثرات نیروی پاندرموتیو در برهمکنش لیزر پر شدت با پلاسمای مغناطیسی کم چگال اتلافی

لیلا رجایی<sup>۱</sup> و مریم جعفری<sup>۲</sup>

تاریخ ارسال: ۱۴۰۰/۱/۲۸ پذیرش: ۱۴۰۰/۴/۲۸

**چکیده:** نیروی پاندرموتیو یک مفهوم مهم در فیزیک پلاسما است که نقش مهمی در بسیاری از جنبه های تئوری برهمکنش لیزر پلاسما شامل مسائل موجود در شتاب میدان عقبه ای و تقویت رامان را ایفا می کند. این نیروی غیر خطی به دلیل میدان الکترومغناطیسی با شدت بالا در تعامل با پلاسما ایجاد می شود و عامل ایجاد فرایندهای غیر خطی زیادی در پلاسما می گردد مانند تولید اشعه ایکس و شتاب دهی الکترون. یکی از فرایندهای غیر خطی ایجاد شده در این سیستم تاثیر متقابل میدان الکترومغناطیسی لیزر و چگالی پلاسما بر روی یکدیگر است. در این مقاله یک پلاسمای غیر یکنواخت برخوردی مغناطیسی در نظر گرفته شده است که در معرض یک لیزر پرشدت قرار می گیرد. هدف اصلی ما بررسی تغییرات پروفایل میدان الکتریکی و چگالی پلاسما به دلیل نیروی پاندرموتیو در حضور برخورد ذرات است. همچنین بررسی اثرات میدان مغناطیسی خارجی روی انتشار امواج لیزر درون پلاسما می باشد. یکی دیگر از فرایندهای بررسی شده در این سیستم بررسی اثرات فرکانس برخورد روی پروفایل چگالی و موج لیزر می باشد.

**واژه های کلیدی:** پلاسمای کم چگال اتلافی، لیزر پرشدت، نیروی پاندرموتیو.

این نیرو باعث ایجاد پدیده های مختلفی شامل

- ۱) خودکانونی و رشتہ سازی پرتو لیزر [۲] تغییر پروفایل چگالی لیزر و شکل گیری سالیتون ها [۳] ناپایداری پارامتریک [۴] تولید میدان مغناطیسی و [۵] تولید هارمونیک دوم می باشد [۵]. برخی نویسندها تحقیقاتی در زمینه های مختلف پلاسمای ناهمنگ و نیروی پاندرموتیو انجام داده اند. به عنوان مثال: تاثیر نیروی پاندرموتیو روی پلاسمای کم چگال با پروفایل چگالی خطی [۶] و اثر میدان مغناطیسی خارجی روی توزیع چگالی و میدان های الکترومغناطیسی در برهمکنش لیزر فوق شدید با پلاسمای کم چگال غیر برخورد [۱۰-۷-۶].

برخورد بین ذرات یکی از عوامل اتلاف انرژی در سیستم های سیالی است. این اثرات اتلافی در انتشار امواج از محیط های پلاسمایی نیز اثر می گذارند. هدف ما در این

**مقدمه:**

همراه با پیدایش فناوری تقویت پالس چریپ، لیزرهای فمتثانیه که دارای پالس های فوق العاده شدید و میدان های الکتریکی فوق العاده بالا هستند پیشرفت چشمگیری داشتند [۱]. برهمکنش لیزرهای پرشدت با پلاسما عامل ایجاد فرایندهای غیر خطی می باشد [۲]. یکی از عوامل ایجاد این فرایندهای غیر خطی نیروی پاندرموتیو است [۳]. پدیده های غیر خطی بسیاری در برهمکنش موج الکترومغناطیسی فرکانس بالا با پلاسما در ارتباط با نیروی پاندرموتیو هستند. به طور کلی نیروی پاندرموتیو یک نیرو روی ذره باردار در پلاسما است [۴].

۱- دانشکده علوم پایه، دانشگاه قم، قم، ایران

که ضریب گزندرهی محیط پلاسمای از رابطه زیر بدست می‌آید:

$$\epsilon = 1 - \left(\frac{\omega_p}{\omega}\right)^2 \frac{1}{(i+v/\omega)} \quad (7)$$

در این رابطه  $\omega_p = \sqrt{\frac{4\pi n_e e^2}{m}}$  فرکانس پلاسمای باشد.

با جایگذاری معادله (۶) در معادلات برای گزندرهی دی الکتریک پلاسمای رابطه زیر بدست می‌آید:

$$\epsilon = 1 - \left(\frac{\omega p_0}{\omega}\right)^2 \frac{1}{(i+v/\omega)} \exp\left(\frac{e^2 E^2}{m T_e \omega^2}\right) \quad (8)$$

و در آخر با استفاده از ضریب گزندرهی  $\epsilon$  و جایگذاری در رابطه (۴) معادله ای میدان الکتریکی به صورت مقابل محاسبه می‌شود:

$$\frac{d^2 E}{dz^2} + \left(\frac{\omega}{c}\right)^2 \left(1 - \left(\frac{\omega p_0}{\omega}\right)^2 \frac{1}{(i+v/\omega)} \exp\left(\frac{e^2 E^2}{m T_e \omega^2}\right)\right) E = 0 \quad (9)$$

### نتایج محاسبات عددی:

با بررسی برهمکنش لیزر شدت بالا با پلاسمای کم چگال ناهمگن در بخش قبل دیدیم که معادله (۹) بدست آمده به شدت غیر خطی است و بنابراین برای حل آن و محاسبه میدان الکتریکی از روش عددی رانگ کوتا مرتبه چهار استفاده کردیم با استفاده از نرم افزار متلب نمودارهای میدان الکتریکی و چگالی الکترون‌ها را برای حالت اتصالی و غیر اتصالی رسم کردیم.

پارامترهای لیزر و پلاسمای استفاده شده در این مقاله  $L=2\mu m I=5 \times 10^{17} W/cm^2$  هستند. ابتدا تغییرات میدان الکتریکی را بر حسب تغییر طول موج لیزر تاییده شده و در دو حالت اتصالی و بدون اتصالی بررسی می‌نماییم از آنجاییکه معادله میدان الکتریکی (معادله (۹)) غیرخطی است ما مجبور هستیم این معادله را بصورت عددی حل نماییم نتایج حل عددی در شکل (۱) نشان داده شده است. نتایج حاصله نشان دهنده تغییرات میدان الکتریکی بر حسب فاصله نشان دهنده تغییرات میدان طول موج نور لیزر طول موج میدان الکتریکی منتشر شده

مقاله بررسی اثرات برخورد در انتشار نور لیزر در یک محیط باردار پلاسمایی است. بنابراین برای بررسی اثرات برخورد روی انتشار موج الکترومغناطیسی از یک پلاسمای اتصالی، چگونگی تغییرات پروفایل میدان الکتریکی و پروفایل چگالی الکترون‌ها را مورد بررسی قرار خواهیم داد.

### معادلات حاکم:

پرتو نور یک موج الکترومغناطیسی است که میدان الکتریکی آن در حال نوسان است. با در نظر گرفتن برخوردها در پلاسمای، معادلات خطی شده حاکم عبارتند از:

$$\frac{\partial \mathbf{V}}{\partial t} = -\frac{e}{m} \mathbf{E} - v \mathbf{V} \quad (1)$$

$$\nabla \times \mathbf{E} = -\frac{1}{c} \frac{\partial \mathbf{B}}{\partial t} \quad (2)$$

$$\nabla \times \mathbf{B} = -\frac{1}{c} \frac{\partial \mathbf{E}}{\partial t} - \frac{4\pi n_{e0}(z)eV}{c} \quad (3)$$

در روابط فوق  $\mathbf{V}$ ,  $\mathbf{E}$ ,  $\mathbf{B}$ ,  $c$  بترتیب سرعت الکترون، میدان الکتریکی، میدان مغناطیسی و سرعت نور است. از آنجاییکه پلاسمای ناهمگن است چگالی تعادلی الکترون به  $z$  بستگی دارد ( $n_{cr} \frac{Z}{L}$ ) و  $n_{e0}(z) = n_{cr} \frac{Z}{L}$  چگالی بحرانی و  $L$  طول ناهمگنی پلاسمای است) و نهایتاً عبارت آخر در معادله اول نشان دهنده ترم اتصالی است و  $v$  فرکانس برخورد است. با استفاده از معادلات ماسکول معادله میدان الکتریکی به صورت زیر محاسبه می‌شود:

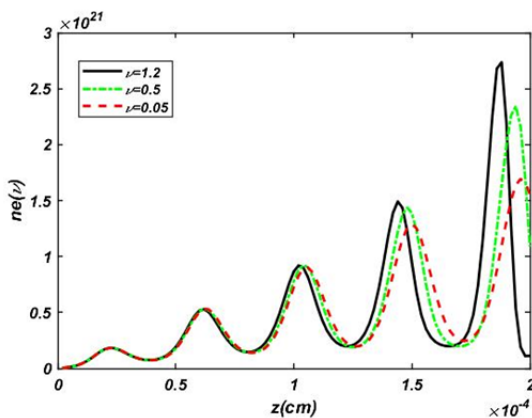
$$\frac{d^2 \mathbf{E}}{dz^2} + \left(\frac{\omega}{c}\right)^2 \left(1 - \frac{4\pi n_e(z)e^2}{m\omega(i\omega - v)}\right) \mathbf{E} = 0 \quad (4)$$

با در نظر گرفتن تعادل بین گرادیان فشار پلاسمای نیروی پاندرموتیو خواهیم داشت:

$$\frac{1}{n_e} \frac{dn_e}{dz} = -\frac{e^2}{m T_e \omega^2} \frac{dE^2}{dz} \quad (5)$$

با انتگرال‌گیری از معادله (۵) در محیط پلاسمای ناهمگن:

$$n_e(z, E^2) = n_{e0}(z) \exp\left(\frac{e^2 E^2}{m T_e \omega^2}\right) \quad (6)$$



شکل ۳) چگالی الکترون برای فرکانس های برخورد مختلف

$$\begin{aligned} v &= 0.5 \text{ (خط چین)} \\ v &= 1.2 \text{ (خط سیاه)} \end{aligned}$$

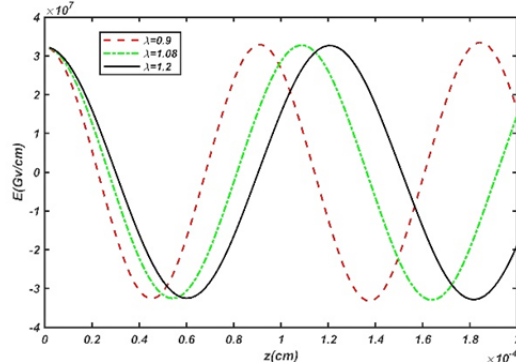
#### نتیجه گیری:

در این مقاله، انتشار یک موج الکترومغناطیسی پر شدت را از یک پلاسمای ناهمگن مورد بررسی قرار دادیم. همانطور که بیان شد نیروی پاندرموتیو باعث تغییر در چگالی الکترون ها و میدان لیزر می شود. با حل معادله موج و با استفاده از برنامه رانگ کوتا در نرم افزار متلب نمودارهای میدان الکتریکی و چگالی الکترون را برای دو حالت اتلافی و غیر اتلافی رسم کردیم. شدت اولیه لیزر را  $10^{17} W/cm^2$  در نظر گرفتیم. همانطور که دیدیم با افزایش طول موج لیزر پروفایل میدان الکتریکی پهن می شود. و برای فرکانس های برخورد مختلف مشاهده کردیم که با افزایش فرکانس برخوردي میدان الکتریکی تغییر چندانی نخواهد کرد. همچنانی با افزایش فرکانس برخوردي پلاسما چگالی الکترون افزایش می یابد و طول موج نوسانات کاهش می یابد.

#### مراجع

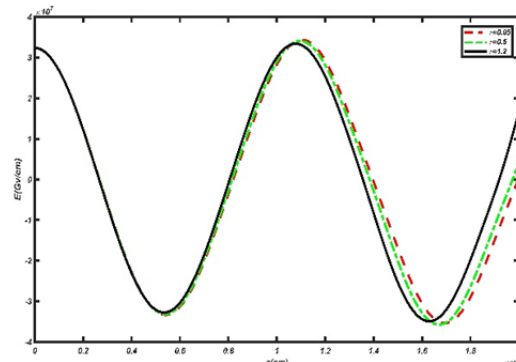
- [1] Eliezer, Shalom, and Kunioki Mima, eds. *Applications of laser-plasma interactions*, CRC press, (2008).
- [2] Hora, Heinrich. *Plasmas at high temperature and density: applications and implications of laser-plasma interaction*. Vol. 1. Springer Science & Business Media, (2008).

در پلاسما کوتاه تر میگردد. قابل ذکر است که در حالت غیر اتلافی این نمودار قبلًا محاسبه شده است [۶].



شکل ۱) میدان الکتریکی در حالت غیر اتلافی برای طول موج های مختلف  
نقطه  $\lambda=1.08$  و (خط چین)  $\lambda=0.9$  (خط سیاه)  $\lambda=1.2$  (خط)

برای بررسی اثرات اتلافی در یک طول موج خاص میدان الکتریکی برای فرکانس های برخورد مختلف در شکل (۲) رسم شده است. همانگونه که دیده می شود با اثرات اتلافی فقط باعث تغییر در طول موج میدان الکتریکی می شود و همانگونه که از نمودار معلوم است طول موج میدان الکتریکی به مکان وابسته می شود. نهایتا با استفاده از رابطه (۶) تغییرات چگالی بر حسب فاصله برای فرکانس های برخورد متفاوت در شکل (۳) رسم شده است مطابق این شکل با پیشرفت موج لیزر درون پلاسما تاثیر فرکانس برخورد بیشتر دیده می شود و با افزایش فرکانس برخورد چگالی نواحی نواحی پلاسما افزایش میابد.



شکل ۲) میدان الکتریکی در حالت اتلافی برای فرکانس های برخورد مختلف:  
نقطه  $v=0.5$  و (خط چین)  $v=0.05$  (خط سیاه)  $v=1.2$  (خط)

- [7] Mahmoodi-Darian, Masoomeh, Mehdi Ettehadi-Abari, and Mahsa Sedaghat. *Journal of Theoretical and Applied Physics*, **10**, 1 (2016).
- [8] Lamb, B.M., *Ponderomotive Effects in Nonadiabatic Regimes and in Nonneutral Plasmas*, (1983).
- [9] Chen, F.F., *Introduction to plasma physics*. 2012: Springer Science & Business Media.
- [10] Alimi, J.-M., P. Mora, and R. Pellat, *Journal de Physique* **48**(4): p. 585-590.( 1987)
- [3] Burton, D.A., Cairns, R.A., Ersfeld, B., Noble, A., Yoffe, S. and Jaroszynski, D.A., Vol 10234, International Society for Optics and Photonics, (2017).
- [4] Shokri, B., and A. R. Niknam. *Physics of plasmas*, **13**, 11 (2006).
- [5] Eliezer, Shalom. *The interaction of high-power lasers with plasmas*. CRC press, (2002).
- [6] Niknam, Ali Reza, Mojtaba Hashemzadeh, and Mohammad Mahdi Montazeri. *IEEE Transactions on Plasma Science*, **38**, 9 (2010).